

Физiol. журн., 1984, т. 30, № 3

Физиол. журн., 1984, т. 30, № 3

345

Оценку профилей концентрации кислорода осуществляли полярографически, с помощью остеоклавированного платинового микроЗлектрода с диаметром кончика 3—5 мкм при температуре 21 °С. Электроды изготавливали, составляли и калибровали по методу, описанному ранее [3, 15, 16]. Диффузионный ток кислорода при потенциале поляризации 0,55—0,65 В регистрировали с помощью усилителя постоянного тока ОР-925 фирмы «Радельс» и потенциометре КСП-4. В зависимости от размеров рабочей поверхности микроЗлектрода чувствительность установки по току составляла 10^{-12} — 10^{-11} А/Па. Интенсивность потребления кислорода ярким измеряли путем помещения ее в среду с добавлением 2,4-дinitрофенола в концентрации 10^{-4} моль на 15 и 30 мин. Контроль интенсивности дыхания осуществляли в полярографической ячейке. Экспериментальный профиль концентрации строили на основании измерения диффузионных токов кислорода в 7—8 точках стационарной системы, среда инкубации — яичники. Принималось, что коэффициенты растворимости кислорода в среде, переварившемом пространстве и цитоплазме отличаются несущественно. В этом случае концентрация кислорода 10^{-3} моль/см³ соединяется с концентрацией кислорода в яичнике.

Ожидаемый профиль концентрации кислорода строили на основании диффузионной теории при стационарных условиях [34]. Для сферической клетки радиусом r_0 , находящейся в неподвижной среде с концентрацией кислорода C_0 , уравнение распределения концентрации кислорода в растворе над клеткой имеет вид:

$$C_e = C_0 + \frac{qr_0^3}{3D_e} \cdot \frac{1}{t} \quad (1)$$

внутри клетки определяется выражением:

$$C_i = C_0 + \frac{qr_0}{3p} + \frac{q}{6D_i}(r_0^2 - r^2) + \frac{qr_0^2}{3D_i}, \quad (2)$$

где: r — расстояние от центра клетки, q — скорость потребления кислорода единицей объема клетки, D_i , D_e — коэффициенты диффузии кислорода внутри клетки и в среде инкубации, p — коэффициент проницаемости оболочки клетки.

Сопоставление экспериментально измеренных и рассчитанных профилей концентрации осуществляли графически.

Результаты и их обсуждение. В процессе дыхания икринки свободный кислород среды, уравновешенной с атмосферным воздухом, поступает внутрь клетки через внешнюю оболочку, однородное водное перителлиновое пространство, внутреннюю оболочку, включающую плазматическую мембрану и прилегающие к ней неперемешиваемые слои. Парциальное давление кислорода в среде инкубации при атмосферном давлении 992 гПа и температуре 21°C составляет около 200 гПа.

По мере приближения кончика микроэлектрода к поверхности икринки, находящейся в состоянии относительного покоя, отмечается небольшое снижение концентрации кислорода, которое свидетельствует о наличии дыхания клетки. При проколе микроэлектродом внешней оболочки существенных изменений парциального давления кислорода не происходит, но при дальнейшем продвижении электрода в первителлиновом пространстве к внутренней оболочке (рис. I), парциальное давление кислорода отчетливо снижается. Степень этого снижения составляет около 33 гПа. Снижение регистрируется на расстоянии 0,03 см, а средний градиент P_{O_2} на этом участке составляет $1.1 \cdot 10^3$ гПа/см.

При проколе микроэлектродом внутренней оболочки, включающей цитоплазматическую мембрану, регистрируется наиболее резкий перепад парциального давления кислорода, достигающий 48 гПа. Поскольку этот перепад локализуется на расстоянии не более 0,002 см, градиент P_{O_2} на этом участке оказывается в 25 раз больше, чем в перителлиновом пространстве, достигая $2,4 \cdot 10^4$ гПа/см.

Дальнейшее продвижение микроЭлектрода от периферии до геометрического центра клетки позволило обнаружить, что парциальное давление кислорода в различных участках цитоплазмы, разноудаленных от источника кислорода, характеризуется чисто малым снижением, порядка 3 гПа на расстоянии 0,06 см, что соответствует среднему градиенту $0,09 \cdot 10^3$ гПа/см. Таким образом, максимальный градиент P_{O_2} в покоящейся клетке зарегистрирован на участке, включающем плазматическую мембрану. Минимальные величины градиен-

та, характеризующиеся в
внутри цитоплазмы. Прове-
 P_{O_2} в неоплодотворенной и
пряжением кислорода окон-

В состоянии относител-
находится на минимальном
ния», который может быть
ного потребления кислород

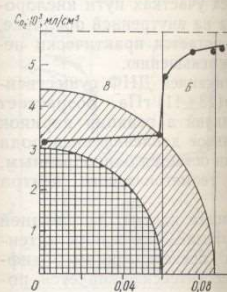


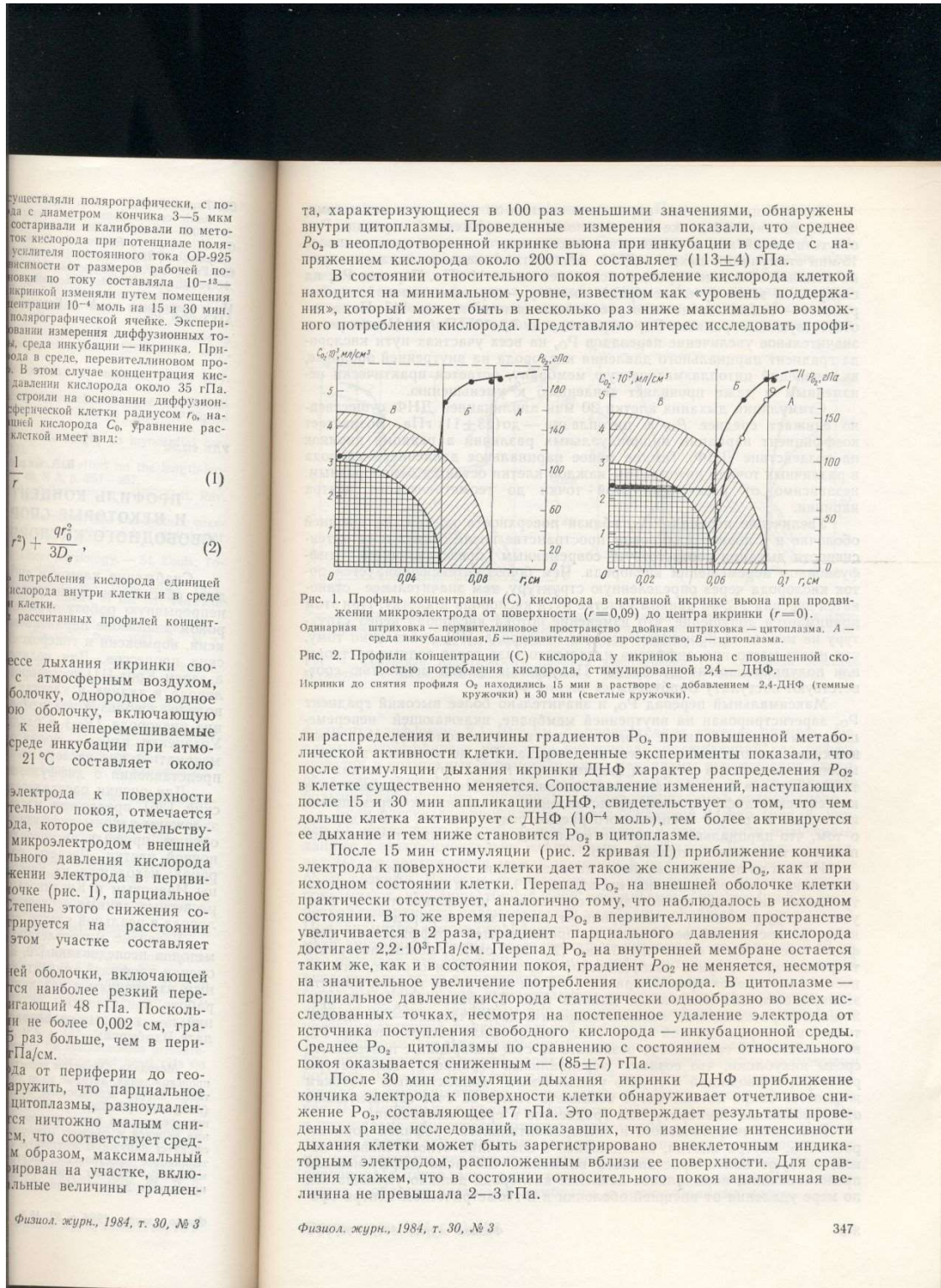
Рис. 1. Профиль концентрации (жении микроэлектрода от Одинарная штриховка — пермивител спада инкубационной, В.

Рис. 2. Профили концентрации
ростью потребления

ли распределения и величины активности клеток после стимуляции дыхания в клетке существенно меняется. После 15 и 30 мин аппликации дальнейшее дыхание активизирует ее дыхание и тем ниже становится

После 15 мин стимуляции электрода к поверхности к исходному состоянию клетки практически отсутствует, а состояния. В то же время I увеличивается в 2 раза, где достигает $2.2 \cdot 10^4$ Гц/см 2 . При таком же, как и в состоянии на значительное увеличение парциальное давление кислорода в следованных точках, несмотря на поступления свидетельствует о том, что покоя оказывается снижен

После 30 мин стимуляции кончика электрода к поверхности Po_2 , составляющее данных ранее исследований дыхания клетки может быть торным электродом, расположенным укажем, что в состояния не превышала 2-3



полярографически, с полем с диаметром кончика 3—5 мкм состаривали и калибровали по методу кислорода при потенциале полярографа постоянного тока ОР-925 винности от размеров рабочей поверхности по току составляла 10^{-13} ампер. Икринкой изменяли путем помещения центрации 10^{-4} моль на 15 и 30 мин. полярографической ячейке. Эксперименты измерения диффузионных токов в среде инкубации — икринка. Потребление кислорода в среде, первичеллинном проце, в этом случае концентрация кислорода около 35 гПа. строили на основании диффузионно-сферической клетки радиусом r_0 , национальной кислорода C_0 , уравнение распределения имеет вид:

$$\frac{1}{r} = \frac{q r_0^2}{3 D_e}, \quad (1)$$

$$r^2 + \frac{q r_0^2}{3 D_e}, \quad (2)$$

потребления кислорода единице единиц кислорода внутри клетки и в среде рассчитанных профилей концент-

тесе дыхания икринки со с атмосферным воздухом, болюку, однородное водное ю оболочку, включающую к ней неперемешиваемые среде инкубации при атмо- 21°C составляет около

электрода к поверхности относительного покоя, отмечается ода, которое свидетельствует о микроЭлектродом внешней давления кислорода жении электрода в первичной точке (рис. 1), парциальное. Степень этого снижения сокращается на расстоянии этом участке составляет

ней оболочки, включающейся наиболее резкий перепад, имеющий 48 гПа. Поскольку не более 0,002 см, градиент раза больше, чем в первичной точке.

да от периферии до географии, что парциальное давление цитоплазмы, разноудаленное чисто малым снимем, что соответствует следующим образом, максимальный градиент на участке, включая величины градиен-

та, характеризующиеся в 100 раз меньшими значениями, обнаружены внутри цитоплазмы. Проведенные измерения показали, что среднее P_{O_2} в неоплодотворенной икринке вьюна при инкубации в среде с напряжением кислорода около 200 гПа составляет (113 ± 4) гПа.

В состоянии относительного покоя потребление кислорода клеткой находится на минимальном уровне, известном как «уровень поддержания», который может быть в несколько раз ниже максимально возможного потребления кислорода. Представляло интерес исследовать профи-

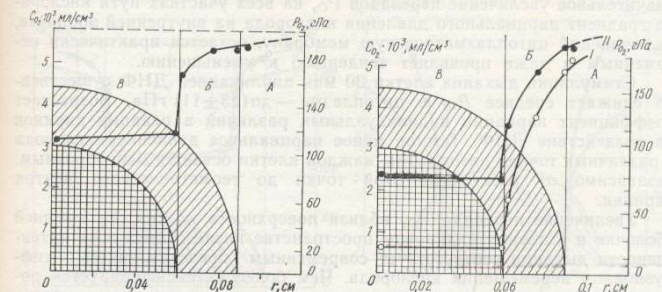


Рис. 1. Профиль концентрации (C) кислорода в нативной икринке вьюна при продвижении микроЭлектрода от поверхности ($r=0.09$) до центра икринки (0—0.09). Одинарная штриховка — первичеллинное пространство двойная штриховка — цитоплазма. А — среда инкубационная, В — первичеллинное пространство, В — цитоплазма.

Рис. 2. Профиль концентрации (C) кислорода у икринок вьюна с повышенной скоростью потребления кислорода, стимулированной 2,4-ДНФ. Икринки до снятия профиля O_2 находились 15 мин в растворе с добавлением 2,4-ДНФ (темные кружочки) и 30 мин (светлые кружочки).

ли распределения и величины градиентов P_{O_2} при повышенной метаболической активности клетки. Проведенные эксперименты показали, что после стимуляции дыхания икринки ДНФ характер распределения P_{O_2} в клетке существенно меняется. Сопоставление изменений, наступающих после 15 и 30 мин аппликации ДНФ, свидетельствует о том, что чем дальше клетка активируется с ДНФ (10^{-4} моль), тем более активируется ее дыхание и тем ниже становится P_{O_2} в цитоплазме.

После 15 мин стимуляции (рис. 2 кривая I) приближение кончика электрода к поверхности клетки дает такое же снижение P_{O_2} , как и при исходном состоянии клетки. Перепад P_{O_2} на внешней оболочке клетки практически отсутствует, аналогично тому, что наблюдалось в исходном состоянии. В то же время перепад P_{O_2} в первичеллинном пространстве увеличивается в 2 раза, градиент парциального давления кислорода достигает $2.2 \cdot 10^3$ гПа/см. Перепад P_{O_2} на внутренней мембране остается таким же, как и в состоянии покоя, градиент P_{O_2} не меняется, несмотря на значительное увеличение потребления кислорода. В цитоплазме — парциальное давление кислорода статистически однозначно во всех исследованных точках, несмотря на постепенное удаление электрода от источника поступления свободного кислорода — инкубационной среды. Среднее P_{O_2} цитоплазмы по сравнению с состоянием относительного покоя оказывается сниженным — (85 ± 7) гПа.

После 30 мин стимуляции дыхания икринки ДНФ приближение кончика электрода к поверхности клетки обнаруживает отчетливое снижение P_{O_2} , составляющее 17 гПа. Это подтверждает результаты проведенных ранее исследований, показавших, что изменение интенсивности дыхания клетки может быть зарегистрировано внеклеточным индикатором электродом, расположенным вблизи ее поверхности. Для сравнения укажем, что в состоянии относительного покоя аналогичная величина не превышала 2—3 гПа.

Стимуляция дыхания икринки в течение 30 мин приводит к тому, что на внешней оболочке также появляется выраженный перепад P_{O_2} , отсутствующий как в состоянии относительного покоя, так и после 15 мин стимуляции дыхания ДНФ. Абсолютное значение этого перепада на внешней оболочке икринки составляет около 11 гПа. Перепад P_{O_2} на следующем этапе пути кислорода в клетку — перивителлиновом пространстве — также значительно увеличивается и достигает 145 гПа, а соответствующий градиент P_{O_2} возрастает до $7,2 \cdot 10^3$ гПа/см. Несмотря на значительное увеличение перепадов P_{O_2} на всех участках пути кислорода градиент парциального давления кислорода на внутренней оболочке, включающей цитоплазматическую мембранны, остается практически неизменным и даже проявляет тенденцию к уменьшению.

Стимуляция дыхания клетки 30 мин аппликацией ДНФ существенно снижает среднее P_{O_2} в цитоплазме — до (23 ± 11) гПа. Возрастает коэффициент вариации индивидуальных различий в реакции икринок на воздействие ДНФ. Тем не менее парциальное давление кислорода в различных точках цитоплазмы каждой клетки остается однообразным, независимо от расстояния этой точки до геометрического центра икринки.

Увеличение перепада P_{O_2} вблизи поверхности клетки, на внешней оболочке и в перивителлиновом пространстве после стимуляции интенсивности дыхания соответствует современным представлениям о диффузионном перемещении кислорода. Чем более интенсифицируется поток кислорода через определенную структуру, тем значительно становится перепад P_{O_2} на данном участке пути кислорода в клетку. При этом принимается допущение, что изменение потока кислорода через структуру не меняет ее проницаемости для кислорода, [40], аналогично тому, что имеет место при диффузии идеального газа через водные растворы или полупроницаемые мембранны. Полученные факты полностью соответствуют постулату Варбурга.

Максимальный перепад P_{O_2} и значительно более высокий градиент P_{O_2} зарегистрирован на внутренней мембране, включающей неперемешиваемые примембранные слои и плазматическую мембрану. Но самым неожиданным оказалось то, что этот перепад P_{O_2} не меняется при стимуляции дыхания, в то время как перепады P_{O_2} на других участках пути кислорода в клетку значительно возрастают. Это не укладывается в классические диффузионные представления о механизмах перемещения кислорода и требует специального рассмотрения, так же, как и данные о том, что парциальное давление кислорода в различных точках цитоплазмы статистически однообразно.

Исходя из приведенных выше математических закономерностей диффузионного распространения кислорода (1), (2) и допуская, что потребление кислорода происходит с одинаковой интенсивностью во всех участках цитоплазмы, а коэффициент диффузии кислорода в клетке является постоянной величиной, не превышающей коэффициента диффузии кислорода в среде инкубации ($2,1 \cdot 10^{-5}$ см²/с), можно построить теоретический профиль распределения P_{O_2} для клетки о состоянии относительного покоя (рис. 3, кривая I). Если на этот же график нанести экспериментально полученные данные (рис. 3, кривая II), то обнаруживаются расхождения, локализующиеся в двух участках — во внеклеточной и внутриклеточной среде. Различия профиля распределения P_{O_2} во внеклеточной среде могут возникать за счет испарения с поверхности среды инкубации, что создает вертикальный градиент температуры раствора, приводящий к трудно учитываемым конвективным потокам жидкости. Такие потоки могут возникать также за счет горизонтально ориентированных температурных градиентов в среде инкубации.

Различия теоретического и экспериментального профилей концентрации P_{O_2} внутри клетки, находящейся в состоянии относительного покоя, требуют более пристального внимания. Согласно диффузионным представлениям, парциальное давление кислорода должно уменьшаться по мере удаления от внешней оболочки и в геометрическом центре сфе-

рической клетки должно быть данные дают однообразие, в то время как это значительно выше различия между наружной оболочкой и внутренней мембраной. Это может быть обусловлено добавочными факторами, влияющими на движение молекул свободной диффузии. Поскольку

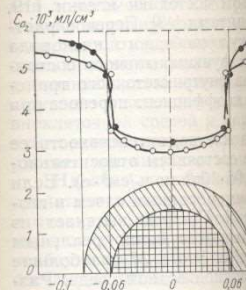


Рис. 3. Экспериментальный профиль концентрации кислорода (кружочки) и теоретический (сплошная линия) в клетке (для инкубации в воздухе).

Рис. 4. Сравнение теоретического профиля концентрации кислорода (кружочки) с экспериментальным (сплошная линия) в клетке (для инкубации в воздухе).

фициента диффузии 2,1·10⁻⁵ см²/с, коэффициент переноса кислорода в клетку, так и возможные вследствия этого. Эта величина оказывается больше коэффициента кислорода.

Если рассчитать профиль концентрации кислорода (теоретическая кривая I), интенсивно потребляя кислород (экспериментальная кривая II), то расхождение между ними становится более резкими. Расчеты показывают, что лишь то, что кислород не может проникнуть в цитоплазму, создает градиент концентрации кислорода в цитоплазме. При диаметре сферы, ограниченной внутренней поверхностью клетки, это означает, что около 60% кислорода, оставшегося в цитоплазме, находится в симметрических точках, расположенных на поверхности сферы. Это означает, что около 60% кислорода, оставшегося в цитоплазме, находится в симметрических точках, расположенных на поверхности сферы.

Экспериментально измерено, что концентрация кислорода в цитоплазме, ограниченной внутренней оболочкой, порядка $0,65 \cdot 10^{-3}$ мл О₂/см³. Концентрация кислорода в цитоплазме, ограниченной внутренней оболочкой, порядка $0,65 \cdot 10^{-3}$ мл О₂/см³. Концентрация кислорода в цитоплазме, ограниченной внутренней оболочкой, порядка $0,65 \cdot 10^{-3}$ мл О₂/см³. Концентрация кислорода в цитоплазме, ограниченной внутренней оболочкой, порядка $0,65 \cdot 10^{-3}$ мл О₂/см³.

чение 30 мин приводит к тому, что выраженный перепад P_{O_2} , отдельного покоя, так и после стимуляции этого перепада остается около 11 гПа. Перепад P_{O_2} на ткани — первичном пространстве и достигает 145 гПа, а соудо $7.2 \cdot 10^8$ гПа/см. Несмотря на всех участках пути кислорода на внутренней оболочке, раны, остается практически неизменным.

аппликаций ДНФ существенно до (23 ± 11) гПа. Возрастает различие в реакции икринок рациональное давление кислорода клетки остается однообразным, и до геометрического центра

верхности клетки, на внешней поверхности после стимуляции интенсивных представлениям о диффузии более интенсифицируется постулат, тем значительнее становятся кислорода в клетку. При этом поток кислорода через структуру клетки, [40], аналогично тому, что газа через водные растворыенных фактов полностью соот-

ветственно более высокий градиент ране, включающей неперемененную мембрану. Но самим перепадом P_{O_2} не меняется при стимуляции P_{O_2} на других участках путей. Это не укладывается в теории механизма перемещения кислорода, так же, как и данные для в различных точках цито-

лических закономерностей диффузии, (2) и допускает, что появляется интенсивность во всех фазах кислорода в клетке, имеющей коэффициента диффузии $0.5 \cdot 10^{-5}$ см²/с, можно построить для клетки о состоянии оттока на этот же график, настолько же кривая II), то обнаруживаются двух участках — во внутренней профиле распределения P_{O_2} нет испарения с поверхности, а градиент температуры и конвективных потоков также за счет горизонтально в среде инкубации.

ального профилей концентрации состояния относительного потока. Согласно диффузионным механизмам кислорода должно уменьшаться в геометрическом центре сферы.

рической клетки должно быть минимальным. Полученные в эксперименте данные дают однозначные значения, и P_{O_2} в центре клетки оказывается значительно выше расчетного. Соответственно и перепад P_{O_2} между наружной оболочкой и центром клетки оказывается меньше ожидаемой величины. Это может возникать в результате действия каких-либо добавочных факторов, способствующих более активному перемещению молекул свободного кислорода, нежели в случае обычной физической диффузии. Поскольку в расчетах использовали величину коэффициента диффузии

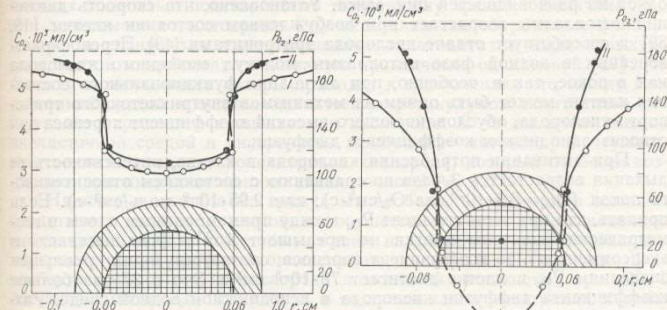


Рис. 3. Экспериментальный профиль концентрации кислорода в нативных икринках (темные кружочки) и теоретический профиль (светлые кружочки), рассчитанный на основе диффузионной теории транспорта O_2 .

Рис. 4. Сравнение теоретического профиля концентрации (С) кислорода (светлые кружочки) с экспериментальным профилем икринок выноса, стимулированных 2,4-ДНФ (темные кружочки).

коэффициента диффузии $2.1 \cdot 10^{-5}$ см²/с, представляло интерес оценить реальный коэффициент переноса кислорода, включающий как диффузию, так и возможные вспомогательные механизмы перемещения кислорода. Эта величина оказалась равной $7.7 \cdot 10^{-5}$ см²/с, т. е. в три раза больше коэффициента кислорода в неперемешиваемой водной среде.

Если рассчитать профиль P_{O_2} в возбужденной клетке (рис. 4, кривая I), интенсивно потребляющей кислород, и сопоставить полученные данные с экспериментально измеренным профилем P_{O_2} (рис. 4, кривая II), то расхождения между кривыми в цитоплазме становятся еще более резкими. Расчеты, основанные на диффузионных представлениях, показывают, что лишь тонкий слой цитоплазмы, прилежащий к внутренней поверхности плазматической мембранны, снабжается кислородом. При диаметре сферы, ограниченной мембранны, порядка 0,12 см, диаметр внутренней сферы, не содержащей кислорода, составляет 0,10 см. Это означает, что около 60 % объема клетки, интенсивно потребляющей кислород, остается в состоянии апоксии. Иными словами, вклад вспомогательных механизмов, перемещающих кислород помимо диффузии, становится особенно значимым при повышенном потреблении кислорода в условиях активной функциональной деятельности.

Экспериментально измеренный профиль концентрации кислорода под внутренней оболочкой характеризуется однозначными значениями порядка $0.65 \cdot 10^{-3}$ мл $O_2/\text{см}^3$ или $29 \cdot 10^{-9}$ моль/ см^3 , и концентрация кислорода не уменьшается по направлению к центру клетки (рис. 4, кривая II). Поскольку в пределах точности наших измерений градиент P_{O_2} в цитоплазме практически отсутствовал, можно полагать, что в возбужденной клетке диффузионные ограничения снимаются вспомогательными механизмами перемещения кислорода, т. е. коэффициент переноса кислорода в цитоплазме резко возрастает, а весь градиент P_{O_2} локализуется в области клеточной мембранны и примембранных слоев.

Какие же из известных фактов, можно привлечь для объяснения ускоренного перемещения кислорода в клетке? В первую очередь это явление циклозиса — непрерывного активного гидродинамического перемещения цитоплазмы [9], которое до сих пор выпадало из поля зрения при рассмотрении вопросов транспорта кислорода в клетке. Циклозис является общебиологической закономерностью, справедливой для всех клеток, в том числе — животного происхождения [18, 43]. Аксонный транспорт, широко исследуемый в последние годы [34, 35], является одной из разновидностей циклозиса. Установлено, что скорость движения цитоплазмы возрастает при возбуждении состояния клетки [19, 39] и способствует отдаче кислорода эритроцитами [43]. Перенос растворенных в водной фазе цитоплазмы молекул свободного кислорода как в покое, так и, особенно, при активации функционального состояния клетки, может быть одним из механизмов внутриклеточного транспорта кислорода, обусловливающего высокий коэффициент переноса при относительно низком коэффициенте диффузии.

При активации потребления кислорода в клетке, интенсивность ее дыхания возрастает в 3 раза по сравнению с состоянием относительно-го покоя ($Q_{O_2} = 6,6 \cdot 10^{-5}$ мл $O_2/\text{см}^3 \cdot \text{с}$), или $2,95 \cdot 10^{-9}$ моль/ $\text{см}^3 \cdot \text{с}$). Если принять, что при этом градиент P_{O_2} между примембранным слоем и геометрическим центром клетки не превышает 1 ГПа (что вытекает из экспериментов), то коэффициент переноса, соответствующий реальным значениям P_{O_2} в клетке достигает $78 \cdot 10^{-5}$ см 2 /с. Это в 37 раз больше коэффициента диффузии кислорода в неподвижной водной среде. Разница может быть обусловлена гидродинамическим перемещением цитоплазмы и другими вспомогательными механизмами перемещения свободного кислорода в клетке.

Теоретически отсутствие градиента P_{O_2} в клетке могло бы возникнуть и без движения цитоплазмы за счет неравномерного распределения органелл — потребителей кислорода. Если основное количество митохондрий сконцентрируется в примембранным слое, а по мере приближения к центру клетки их количество будет экспоненциально убывать — профиль концентрации кислорода в клетке может быть однозначным. Аналогичное распределение P_{O_2} могло бы возникнуть при разной интенсивности дыхания примембранных и центрально расположенных митохондрий. Если бы пул примембранных митохондрий находился в активном метаболическом состоянии, в то время как более глубоко расположенные митохондрии — в состоянии относительного покоя, — возникла бы аналогичная картина. Вместе с тем гистохимические и электронно-микроскопические исследования гепатоцитов и других специализированных клеток, приближающихся к сферическим, не дают сведений о наличии существенной неравномерности распределения митохондрий, либо значительной разницы их энзиматической активности в зависимости от места расположения в клетке. Поэтому обе последние версии представляются мало вероятными.

Другим источником увеличения переноса кислорода в клетке может быть латеральная диффузия — векторный процесс перемещения молекул свободного кислорода вдоль биологических мембран [14]. Высказана точка зрения о том, что сопротивление мембран потоку кислорода обусловлено не столько их липидным матриксом, сколько примыкающими к нему границами раздела фаз, представляющими определенный энергетический барьер [1, 2, 7]. С этой точки зрения движение потока кислорода вдоль мембран может быть предпочтительным процессом, требующим меньших затрат энергии на единицу пути. Эволюционная целесообразность возникновения внутриклеточных структур детально рассмотрена в работе [17], а соотношение водных и липидных путей на примере эндотелия легкого обсуждается в работе [22].

Современные сведения по анатомии клетки указывают на существование радиально ориентированных мембранных структур эндоплазматического ретикулума (ЭПР), соединяющих плasmatische мембранны клетки с ядерной мембраной, которые пронизывают всю сому. Фикси-

рованные на ЭПР окисли получать кислород за счет диффузии кислорода через мембранные матрицы, — растворимость кислорода в пидном матриксе мембраны лишены возможности использования жестко лимитированных

в более жестко лимитированных условиях.

растает при низких значе-
ниях концентрации кисло-
родной воды в гемоглобине.
Наличие в цитоплазме
средством к кислороду, спо-
собствующим его доставке
и отдаче кислорода, может
быть обеспечено различными
методами. Одним из них
является введение в цито-
плазму специальных со-
единений, способных связы-
вать кислород. Такими со-
единениями являются гемогло-
бин и каротиноиды.

способность специфично облегчать перемещение свободно значимой для возбуждения Po_2 , когда величина ловленного этим градиентом является пренебрежительно малой, каротиноиды и жизнедеятельности клетки.

Представляет интерес
ния кислорода через внеш-
стояния относительного пок-
чении скорости потребления
ложки возрастает. Поскольку
0,09 см, а внутренней — 0,6
более чем в 2 раза, поток к
в единицу времени через ед
оказывается в два раза бол-

Как следует из законов рез определенный участок с увеличения градиента концентрического диффузии (D_{O_2}) и икринки в состоянии относительного потребления кислорода, мы P_o , на внешней и внутренней

можно привлечь для объяснения в клетке? В первую очередь это активного гидродинамического педо сих пор выпадало из поля зрения транспорта кислорода в клетке. Циклономерностью, справедливой для происхождения [18, 43]. Аксон-последние годы [34, 35], является установлено, что скорость движущим состоянию клетки [19, эритроцитами [43]. Перенос растущих молекул свободного кислорода тавления функционального состояния изменив внутриклеточного трансмембранный коэффициент переноса при фузии.

PO_2 в клетке могло бы возникнуть из-за неравномерного распределения. Если основное количество гемоглобина находится в мембранным слое, а по мере прихода кислорода будет экспоненциально убывать, то в клетке может быть одновременно PO_2 , могло бы возникнуть приток кислорода и центрально расположенных митохондрий на тоинии, в то время как более высокий концентрации относительного гемоглобина. Вместе с тем гистохимическое исследование гепатоцитов и других клеток сферическим, не дают информации о распределении митохондриальной активности в клетке. Поэтому обе последние

тоса кислорода в клетке моло-
дый процесс перемещения моло-
гических мембран [14]. Вы-
ление мембранных потоков кисло-
рода матриксом, сколько примы-
представляющими определен-
ной точки зрения движение
в предпочтительным процес-
сом единицами пути. Эволюцион-
неклеточных структур деталь-
ные водных и липидных пу-
няются в работе [22].
лочки указывают на существ-
ающих структур эндоплазма-
к плазматическую мембрану
изывают всю сому. Фикси-

рованные на ЭПР окислительно-восстановительные ферменты могут получать кислород за счет латерального перемещения, минуя процесс диффузии кислорода через преимущественно водную среду — цитоплазму, — растворимость кислорода в которой значительно ниже, чем в липидном матриксе мембран. Расположенные в цитоплазме митохондрии лишены возможности использовать латеральную диффузию и находятся в более жестко лимитированных условиях доставки кислорода.

Оптические исследования степени окисленности внутриклеточных оксидаз полностью подтверждают такую точку зрения. Величина K_m для зависимого от цитохрома P_{450} окисления гексобарбитала, фенирамида и альпренола в изолированных гепатоцитах и выделенных из гепатоцитов микросомах оказывается практически одинаковой [27]. На основании этого факта авторы приходят к заключению, что между внеклеточной средой и эндоплазматическим ретикулумом гепатоцитов нет ощутимого градиента концентрации кислорода. В то же время между внеклеточной средой и внутренней мембраной митохондрий существует высокий градиент концентрации кислорода, который особенно возрастает при низких значениях внеклеточного P_{O_2} [27].

Наличие в цитоплазме гранул многоглобина, обладающего высоким сродством к кислороду, способным осуществлять обратимое связывание и отдачу кислорода, может быть одним из факторов, выравнивающих внутриклеточный профиль концентрации кислорода. По данным Виттеберга растворимость кислорода в тканевой жидкости при 20°C составляет около $3,5 \cdot 10^{-5}$ моль/л, в то время как концентрация многоглобина достигает величины $5 \cdot 10^{-4}$ моль/л, что в 15 раз больше. Способность гемоглобина и многоглобина, растворенных в водной среде ускорять диффузию кислорода достаточно хорошо изучена (см. обзоры [30, 42]), а облегченная диффузия может рассматриваться как один из механизмов выравнивания внутриклеточных градиентов концентрации свободного кислорода. Значительно менее исследована в этом плане роль внутриклеточных каротинов и липидных гранул, появление которых в цитозоле обычно рассматривается как признак дегенерации клетки. Не исключено, что в начальных стадиях кислородного голодания появление липидных гранул может быть одним из механизмов приспособления клетки к гипоксии и создания более мощных внутриклеточных депо кислорода, аналогично тому, что по данным В. Н. Карнаухова имеет место у глубоководных моллюсков.

Способность специфических белков типа гемоглобина и миоглобина облегчать перемещение свободного кислорода в клетке становится особенно значимой для возбужденной клетки в условиях низкого внеклеточного P_{O_2} , когда величина градиента концентрации кислорода и обусловленного этим градиентом диффузационного потока кислорода становится пренебрежительно малыми. Именно в таких условиях гранулы миоглобина, каротиноиды и липосомы могут способствовать сохранению жизнедеятельности клетки.

Представляет интерес рассмотреть также особенности перемещения кислорода через внешнюю и внутреннюю оболочки икринки в состоянии относительного покоя и после стимуляции дыхания. При увеличении скорости потребления кислорода поток кислорода через обе оболочки возрастает. Поскольку радиус внешней оболочки составляет 0,09 см, а внутренней — 0,6 см и площади их поверхности различаются более чем в 2 раза, поток кислорода (количество вещества, проходящее в единицу времени через единицу площади) через внутреннюю оболочку оказывается в два раза более интенсивным.

Как следует из законов диффузии, возрастание потока вещества через определенный участок среды (Δx) может происходить либо за счет увеличения градиента концентрации, либо вследствие увеличения коэффициента диффузии (D_{O_2}) на этом участке. Сравнивая профили P_{O_2} прикормки в состоянии относительного покоя и в состоянии повышенного потребления кислорода, мы обнаружили отчетливые различия перепадов P_{O_2} на внешней и внутренней оболочке. В состоянии покоя на внутрен-

ней оболочке наблюдается значительный перепад P_{O_2} (48 гПа), в то время как на внешней оболочке он практически не регистрируется. При максимальной активации дыхания на внешней оболочке возникает статистически значимый перепад P_{O_2} (11 гПа), свидетельствуя о возрастании потока кислорода. В то же время на внутренней оболочке икринки градиент P_{O_2} практически не меняется, хотя поток кислорода резко возрастает. Это позволяет заключить, что коэффициент диффузии через внутреннюю мембрану изменяется прямо пропорционально интенсивности дыхания.

Данные о вариабельности сопротивления мембран для кислорода в зависимости от степени окисленности липидов, удельного содержания белка, ионных условий и других вне- и внутримембранных условий приведены в литературе [2, 5, 6, 13, 15, 16, 24, 30, 31, 36].

Поскольку экспериментально невозможно измерить перепад P_{O_2} непосредственно на плазматической мемbrane, а измерения производятся на каком-то неопределенном расстоянии от нее, расчет коэффициентов диффузии через мембрану целесообразно заменить расчетом коэффициентов проницаемости мембранны ($p = D_{\text{O}_2}/\Delta x$). Из формулы (1) и (2) следует, что в состоянии относительного покоя p для внутренней мембранны икринки составляет около $3 \cdot 10^{-4}$ см/с, при умеренной активации дыхания — $5,4 \cdot 10^{-4}$ см/с, а при максимальной активации потребления кислорода — $10,7 \cdot 10^{-4}$ см/с. Увеличение коэффициента проницаемости внутренней оболочки, включающей цитоплазматическую мембрану, можно рассматривать как свидетельство активной роли этой структуры в перемещении кислорода в цитоплазму клетки.

Активная роль плазматической мембранны в перемещении кислорода не предусматривает обязательного участия активного транспорта кислорода [2, 4]. Активным компонентом, меняющим проницаемость плазмолемы, является, по-видимому, изменение ее структуры — степени упорядоченности липидных и фосфолипидных молекул матрикса, соотношения липидных и белковых компонентов. Известно, что физико-химическое состояние плазмолеммы весьма динамично и меняется в зависимости от метаболического состояния клетки и факторов окружающей среды. Изменение электролитного состава так же, как и изменение концентрации отдельных структурных элементов мембраны, способно изменять барьерные свойства моно- и бислойных липидных мембран для кислорода [1, 5, 13, 28].

Различия скорости диффузии кислорода в разных тканях описаны многими авторами. Так, если в ткани почки константа диффузии по Кругу составляет $0,63 \cdot 10^{-4}$, то для ткани печени она в 2,6 раза больше — $1,64 \cdot 10^{-4}$ Кривогских единиц [32]. В плазме крови при температуре 37°C коэффициент диффузии (по Фику) составляет $2,18 \cdot 10^{-8}$, в то время как в цельной крови — $1,62 \cdot 10^{-5} \text{ см}^2/\text{с}$ [24]. В роговом слое кожи ушной раковины мыши коэффициент диффузии кислорода составляет $1,1 \cdot 10^{-7}$, в мягких тканях уха — $4 \cdot 10^{-6} \text{ см}^2/\text{с}$ [23]. Эти различия обусловлены неодинаковым биохимическим составом тканей, различной степенью содержания в них воды [37] и рассматриваются исследователями как константы, присущие данной ткани. Мы считаем, что коэффициенты диффузии, или, лучше коэффициенты переноса кислорода в клетках и состоящих из клеток тканях являются динамичными, меняющимися в процессе жизнедеятельности в зависимости от степени активности тканей величинами.

Резюмируя полученные данные и вытекающие из них заключения, можно отметить, что постулат Варбурга о диффузии как единственном процессе, обеспечивающем перемещение молекул свободного кислорода в клетках и тканях явился фундаментом для создания научных представлений первого приближения о биофизических закономерностях транспорта газов в биологических объектах. Дальнейшее развитие этих представлений может исходить из того, что биологические объекты являются многофункциональными водно-липидно-белковыми системами с динамичными характеристиками структуры и функции мембран, непре-

рывным движением вне- и
могательными механизмами
чают клетки и ткани от о-
для которых выводились

Выводы. Эксперимент микроэлектрода профиль соответствует расчетному ки, что перемещение кисл диффузии.

коэффициент переноса активации интенсивно, а коэффициент диффузии.

шает коэффициент диффузии. Внутренняя оболочка мембранны, способная менять толщину, неизменно уменьшая ее прямо пропорционально.

Поскольку клетки биогенных среды с движущимися от гомогенных неподвижных диффузии, при расчетах следует пользоваться не коэффициентом диффузии, а коэффициентом переноса, зависящим от состояния оболочки.

Коэффициенты переноса в зависимости от реального отрезка времени.

V. A.

OXYGEN CO
AND CERTAIN DI
TRANSI

Platinum microelectrode provides the external shell of a loan port to the cell. The inner shell is distinct from other sites of the cell and does not rise when respiration in the plasma membrane permits that P_{O_2} in the cell cytoplasm is the coefficient of oxygen transport of its diffusion in stagnant water, osmosis and hydrodynamic O_2 transport, and calculated profiles of O_2 valid for homogeneous immiscible port in biological systems.

A. A. Bogomoletz Institute of
Academy of Sciences, Ukraine

1. Алферов Ю. М. Способ из ной мембранны потоку кис гии. Киев : Наук. думка, 1972.
 2. Алферов Ю. М., Березовская Н. А. Кислорода через границу р с. 78–85.
 3. Березовский В. А. Электрорадиического определения квазифизическое определение кислорода. – Вестник УрГУ, 1968, с. 98–122.
 4. Березовский В. А. Транспорт активный, перенос. – В. кн.

